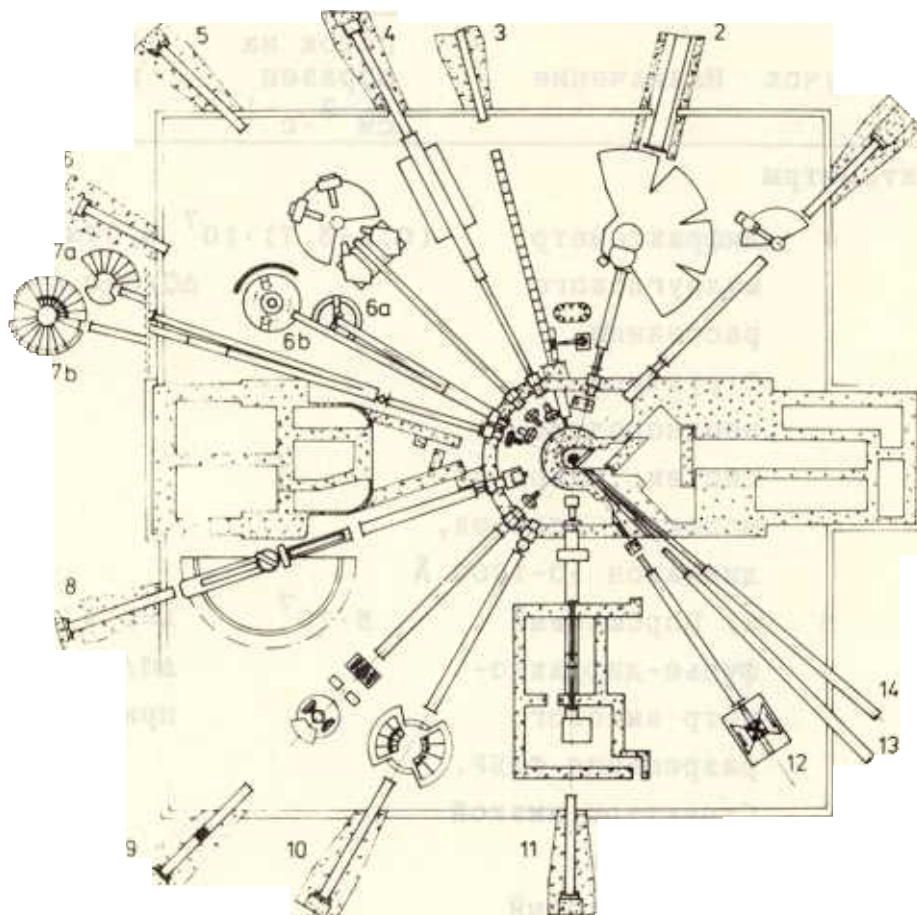


СХЕМА ЭКСПЕРИМЕНТАЛЬНЫХ УСТАНОВОК НА ИБР-2



| Пучок | Установка |
|-------|--|
| 1 | Дифрактометр на идеальных кристаллах ДИФРАН |
| 2 | Спектрометр неупругого рассеяния в прямой геометрии ДИН-2 |
| 3 | Установка для нейтронного легирования кремния |
| 4 | Дифрактометр малоуглового рассеяния МУРН |
| 5 | Установка ДН-5: фурье-дифрактометр высокого разрешения ФДВР и порошковый дифрактометр переходных процессов ДПП |
| 6А | Дифрактометр ДН-2 |
| 6В | Дифрактометр с импульсным магнитным полем СНИМ |
| 7А | Текстурный дифрактометр НСВР |
| 7В | Спектрометр неупругого рассеяния в обратной геометрии НЕРА |
| 8 | Спектрометр поляризованных нейтронов СПН-1 |
| 9 | Нейтронный рефлектометр РЕФЛЕКС |
| 10 | Спектрометр неупругого рассеяния в обратной геометрии КДСОГ |
| 11 | Установка для радиационных и аналитических исследований материалов |
| 12 | Дифрактометр с камерой высокого давления ДН-12 |

ЭКСПЕРИМЕНТАЛЬНЫЕ УСТАНОВКИ НА ИБР-2

| Установка | Пучок | Назначение | Поток на образец $\text{см}^{-2} \cdot \text{с}^{-1}$ | Диапазон, разрешение |
|----------------------|-------|---|--|---|
| Дифрактометры | | | | |
| МУРН | 4 | Дифрактометр малоуглового рассеяния. Структура неоднородных систем, макро- молекул, сплавов, диапазон 10-1000 Å | $(0,6-3,7) \cdot 10^7$ | $0,07 \leq Q \leq 0,7 \text{ Å}$ $\Delta Q/Q = 0,04-0,18$ |
| ДН-5 | 5 | a) Порошковый фурье-дифракто- метр высокого разрешения ФДВР. Структуры низкой симметрии. б) Порошковый дифрактометр переходных процессов ДПП. | $5 \cdot 10^7$ | $\lambda = 0,9-12 \text{ Å}$ $\Delta d/d = 5 \cdot 10^{-4}$ при $d=2 \text{ Å}$ |
| ДН-2 | 6А | Дифрактометр. Структура моно- кристаллов, фазовые переходы. Температура 1-1000 К. Дифрак- ция в реальном масштабе времени с разрешением не хуже 1 мин. | 10^7 | $\lambda = 0,9-20 \text{ Å}$ $\Delta \lambda = 0,05 \text{ Å}$ $\Delta d/d = 0,01$ для $\Theta = 80^\circ, d=2 \text{ Å}$ $\Delta d/d = 0,1$ для $\Theta = 10^\circ, d=60 \text{ Å}$ |

| | | | | |
|--|----|---|-----------------------|---|
| СНИМ | 6В | Дифрактометр. Магнитная структура и фазовые переходы кристаллов в импульсном (1 мс) магнитном поле до 25 Тл | $4 \cdot 10^6$ эл/с | $\lambda=0,8-20 \text{ \AA}$ $\Delta\lambda=0,04 \text{ \AA}$ |
| НСВР | 7А | Дифрактометр. Текстуры в металлах, минералах, керамиках. Ближний порядок в стеклах и жидкостях | 10^6 эл/с | $\lambda=0,8-7,6 \text{ \AA}$ $\Delta\lambda=0,015 \text{ \AA}$ |
| ДН-12 (проект) | 12 | Порошковый дифрактометр. Камеры высокого давления | $3 \cdot 10^6$ эл/с | $\lambda=0,5-365 \text{ \AA}$ $\Delta d/d=0,01$ для $\Theta=80^\circ$, $d=2 \text{ \AA}$ |
| Спектрометры неупругого рассеяния | | | | |
| ДИН-2 | 2 | Спектрометр в прямой геометрии с криволинейным щелевым ротором, сформированным с реактором. Площадь образца до 200 см ² . Динамика металлов, сплавов и жидкостей | $2,5 \cdot 10^5$ эл/с | $\delta E=0,5-120 \text{ мэВ}$ $\Delta E/E_0=4-10\%$ |
| НЕРА | 7В | Спектрометр высокого разрешения в обратной геометрии. Статистика атомов и молекул, атомная и магнитная динамика, фазовые переходы. | $4,6 \cdot 10^6$ эл/с | $\delta E=0-500 \text{ мэВ}$ $\Delta E/E=2-6\%$ (неупругое) $\Delta E=40-600 \text{ мкэВ}$ (квазиупругое) |

| | | | | |
|--|----|--|------------------|--|
| КДСОГ | 10 | Спектрометр в обратной геометрии. Площадь образца до 200 см ³ , температура 5-500 К, давление 0-4 кбар | $6,6 \cdot 10^6$ | $\delta E = 1-300$ мэВ $\Delta E/E = 5-14\%$ |
| Специализированные спектрометры | | | | |
| ДИФРАН | 1 | Дифрактометр на идеальных кристаллах. | $1,9 \cdot 10^6$ | $\lambda = 0,2-4$ Å $\Delta \lambda = 0,04$ Å |
| СПН-1 | 8 | Спектрометр поляризованных нейтронов. Магнитное поле на образце до 0,6 Тл. Поверхностные явления, внутренние поля, неоднородности в магнитных и сверхпроводящих материалах | $2,5 \cdot 10^5$ | $\Delta \lambda = 0,03$ Å $\lambda = 0,8-10$ Å |
| РЕФЛЕКС | 9 | Рефлектометр на неполяризованных и поляризованных нейтронах. Поверхностные и приповерхностные явления | $2,5 \cdot 10^5$ | $\theta_{grazing} = (2-12) \cdot 10^{-3}$ рад $\Delta \theta = 2 \cdot 10^{-4}$ рад |

Примечание: E_0 и E - энергия до и после рассеяния, δE передача энергии; Q - модуль вектора рассеяния; ΔE или Δd разрешение спектрометра по E или d .